

Министерство высшего и среднего специального образования  
Р С Ф С Р

Горьковский ордена Трудового Красного Знамени  
научно-исследовательский радиофизический институт (НИРФИ)

П р е п р и н т № 2 4 0

РАДИСКОНТРАСТЫ АТМОСФЕРЫ НАД МИРОВЫМ ОКЕАНОМ

Александрова Т.В.  
Подвойская О.А.

Горький 1987

Алекоа Ильинова Т.В., Подвойская О.А.

РАДИОСКОНТРАСТЫ АТМОСФЕРЫ НАД МИРОВЫМ ОКЕАНОМ // Препринт № 240  
- Горький, НИРФИ. - 1987.

44 с.

УДК 551.501.8

Рассмотрены контрасты радиотеплового излучения атмосферы при наличии облаков в различных климатических зонах мирового океана. По северным частям Тихого и Атлантического океанов рассчитаны оптическая толщина, радиояркостная температура и их контрасты для моделей облачной атмосферы на длинах волн  $\lambda = 0,8$  и  $1,35$  см на углах зондирования  $\theta$  от  $0$  до  $85^\circ$  при наблюдении сверху, а также при наблюдении с поверхности Земли в зенит. Модели атмосферы составлены на основе данных многолетних метеорологических наблюдений. Приведены некоторые результаты измерений радиоконтрастов облаков в тропической зоне Атлантического океана в марте - июле 1985 г. Величины облачных контрастов, полученные экспериментально, удовлетворительно согласуются с расчетными.

В различных задачах исследований окружающей среды, в частности, состояния поверхности Мирового океана эффекты дистанционные радиофизические методы: радиолокационный и радиотепловой. При этом необходимо учитывать влияние облачности на контрасты радиосигналов [1,2,3].

В атмосфере контрасты создаются благодаря неоднородному распределению водяного пара и водности. Экспериментальные исследования распределения этих компонент проводятся при одновременных измерениях в линии водяного пара ( $\lambda = 1,35$  см) и на волне  $\lambda = 0,8$  см, на которой существенный вклад дает конденсированная вода.

В работе рассматриваются контрасты, создаваемые атмосферой при наличии облаков, в различных климатических зонах Мирового океана.

По северным частям Тихого и Атлантического океанов рассчитаны оптическая толщина, радиояркостная температура и их контрасты (разность значений "облачно-ясно") для моделей облачной и безоблачной атмосферы в диапазоне длин волн  $\lambda = 0,8$  см и  $1,35$  см на углах зондирования  $\theta$  от 0 до  $85^\circ$  при наблюдении сверху, а также при наблюдении с поверхности Земли в зенит. Модели атмосферы составлены на основе данных многолетних метеорологических наблюдений летом и зимой. Отсутствие необходимых метеорологических данных не позволило выполнить расчеты по северной части Индийского океана и южного полушария. Приводятся некоторые результаты измерений радиоконтрастов облаков в тропической зоне Атлантического океана в марте–июле 1985 года (4I рейс НИС "Академик Курчатов").

Распределение облачности над океаном связано с условиями атмосферной циркуляции и свойствами воздушных масс. Как известно [4], в соответствии с условиями общей циркуляции атмосферы, выражавшимися в преобладании воздушных масс определенного географического типа – круглый год или в один из двух основных сезонов, выделяют климатические зоны и области. Границы между зонами намечаются по зимнему и летнему положению климатологических

фронтов, разделяющих основные воздушные массы. На рис. I,2 дано климатическое районирование Атлантического и Тихого океанов в северном полушарии с учетом всех климатообразующих факторов [5,6]. Климатические области представлены характерными пунктами (табл. I), отмеченными на рис. I,2 точками, для которых составлены модели атмосферы.

Таблица I

Перечень островных станций (о.), кораблей погоды (к.п.), центров десятиградусных квадратов (ц.кв.), избранных точек (избр. т.)

Океан, климатическая с область	# пункта на рис. I,2	Станция	
		I	2
<b>Атлантический океан</b>			
у <sub>I</sub> <sub>I</sub>	I		о. Ян-Майен
у <sub>Ia</sub>	2		к.п. М
у <sub>Ia</sub>	3		С
у <sub>Ib</sub>	4		КП
у <sub>2</sub>	5		В
Iу <sub>2</sub>	6		К
Iу <sub>2a</sub>	7		Д
Iу <sub>3</sub>	8		ц.кв. 037
III <sub>I</sub>	9		о. Фуншал
III <sub>1a</sub>	10		о. Сал
III <sub>2a</sub>	II		ц.кв. 016
III <sub>2б</sub>	I2		к.п. Е
II <sub>I</sub>	I3		ц.кв. 003
I <sub>2</sub> II <sub>I</sub>	I4		001
<b>Тихий океан</b>			
уI <sub>I</sub>	I		избр. т. I
уI	2		3
уIa	3		к.п. Р
уIb	4		# 2

Продолжение Таблицы I

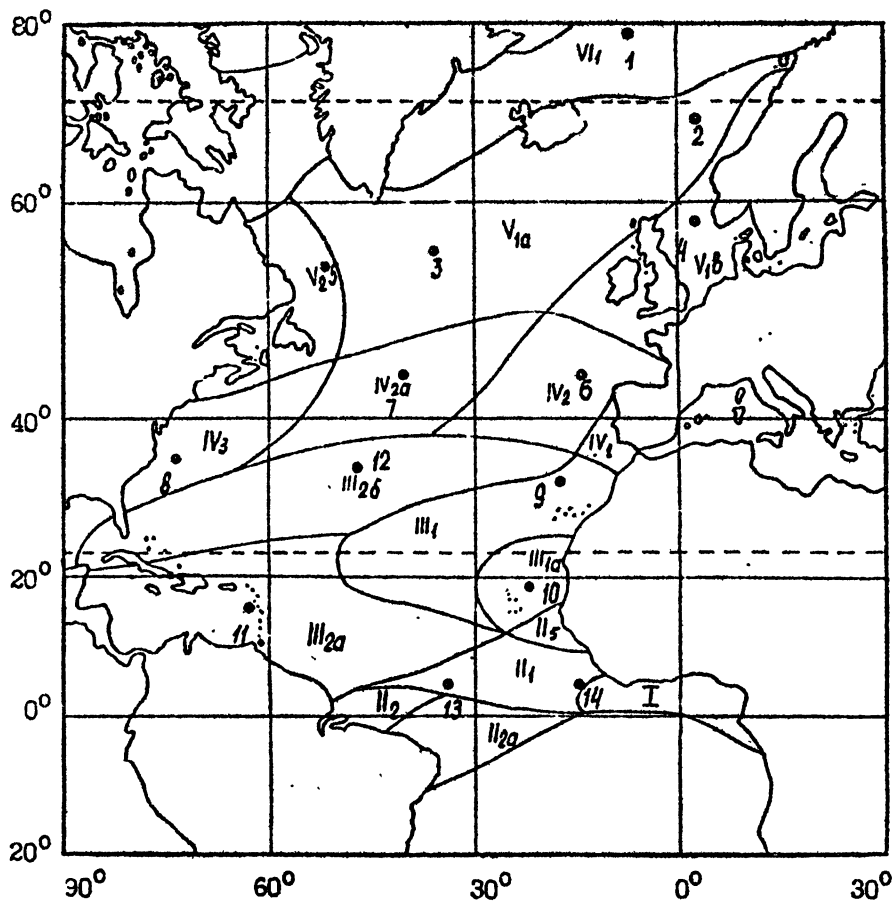
I	2	3
Iу <sub>1</sub>	5	избр.т.7
Iу <sub>2</sub>	6	6
Iу <sub>2a</sub>	7	к.п. X
Ш <sub>1</sub>	8	избр.т.10
Ш <sub>2a</sub> Ш <sub>2b</sub>	9	к.п.: №
Ш <sub>2a</sub>	10	о.Кауай
Ш <sub>2a</sub>	11	о.Уэйк
Ш <sub>2a</sub>	12	о.Джонстон
Тихий океан		
Ш <sub>2b</sub>	13	к.п. V
Ш <sub>2b</sub> Iу <sub>3</sub> Iу <sub>2a</sub>	14	T
Ш <sub>2b</sub>	15	о.Мидуэй
Ш <sub>2b</sub>	16	о.Маркус
П <sub>1</sub>	17	о.Яп
П <sub>1</sub>	18	о.Понапе
П <sub>1</sub>	19	избр.т.14
П <sub>2</sub>	20	15

Модели облачной атмосферы содержат сведения в среднем за сезон (зима, лето) о вертикальных профилях давления, температуры, абсолютной влажности воздуха; об облачном покрове – форме, высоте нижней границы, вертикальных размерах и водности облаков.

Вертикальные профили давления, температуры, абсолютной влажности воздуха получены на основании средних месячных или сезонных многолетних данных, приведенных в [5-11]. Температура облаков может отличаться от температуры окружающего пространства на доли градуса в среднем по толщине облаков [13]. Можно пренебречь этим отличием и принять для модели среднее распределение температуры по высоте вместе с распределением влажности и давления.

Балловые оценки и высота нижней границы облачности, повторяемость различных форм облаков получены на основании средних месячных многолетних данных [5,6,12,14,15].

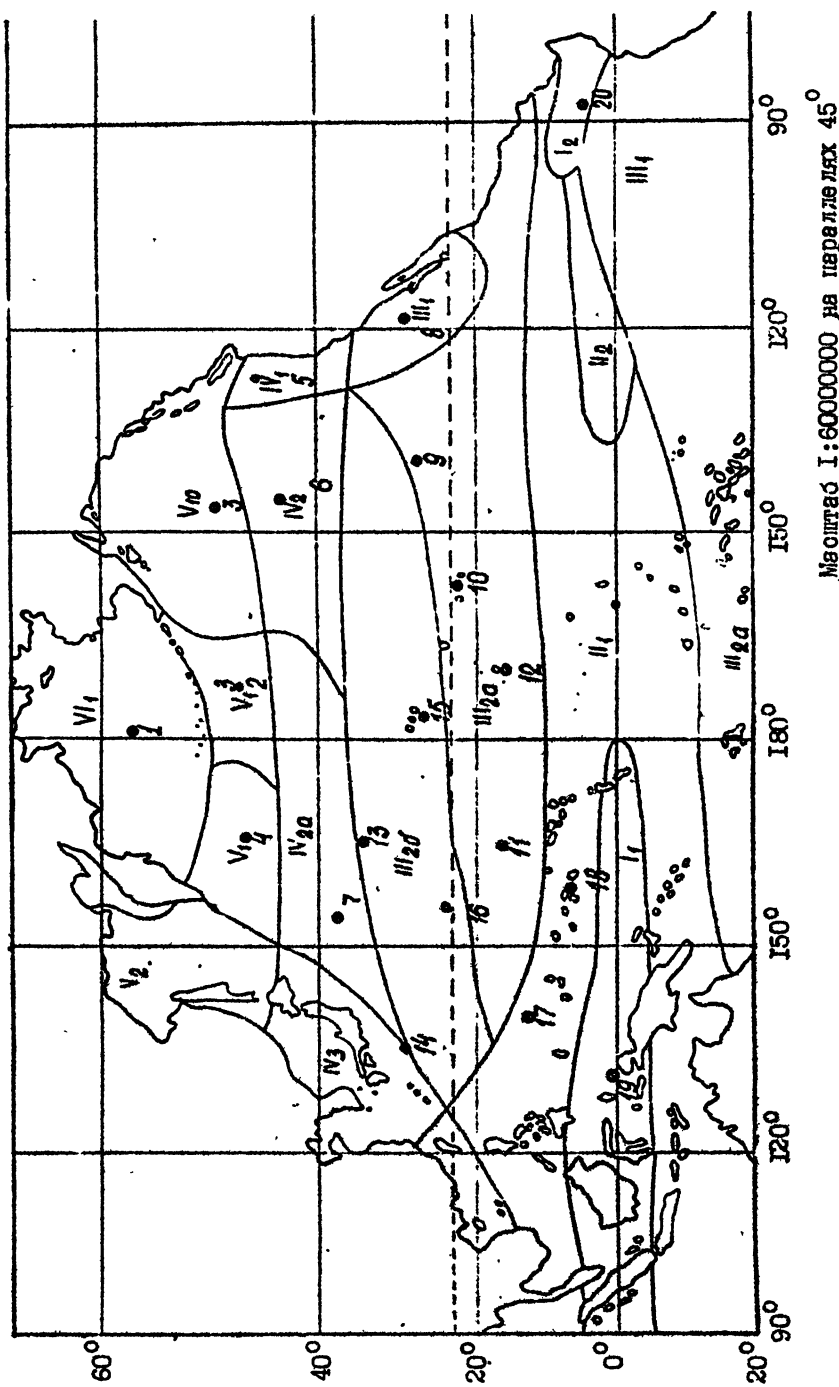
В вышеупомянутых источниках использованы наземные метео-



Масштаб 1:60000000 на параллелях 45°

Р и с. I. Климатические зоны и области. Атлантический океан.

Р и с. 2. Климатические зоны и области. Тихий океан



рологические наблюдения. За облачностью ведутся как наблюдения с поверхности, немногочисленные над океанами, так и спутниковые наблюдения, которые в настоящее время становятся главным источником информации. В [16] сделан краткий обзор по климатологии облачного покрова, рассмотрены методы и результаты исследований характеристик облачного покрова по данным наблюдений со спутников. Сравнение оценок количества облаков по спутниковым и наземным данным выявило некоторые расхождения [16, 17].

Закономерности глобального распределения общей облачности над океаном исследованы в [18].

Таблица 2

Годовые значения общего количества облаков над океанами  
(в баллах) [18]

Широта град.	0-10	10-20	20-30	30-40	40-50	50-60	60-70	70-80	80-90
Баллы	5,9	5,6	5,4	6,3	7,4	7,8	7,4	7,1	7,0
Баллы	5,5	5,5	5,7	6,1	7,1	8,0	8,1	7,2	

Наибольшие значения общего количества облаков в течение года отмечается в приэкваториальных и умеренных широтах, а меньшие – в тропических широтах.

При расчетах рассматривались только облака вертикального развития и нижнего яруса; считалось, что излучение облаков среднего и верхнего ярусов мало вследствие их кристаллической структуры и небольшой водности [3].

В различных климатических зонах вклад облачности нижнего яруса в общее количество облаков бывает разным. В экваториальной (I) и субэкваториальной (II) зонах по сравнению с общим количеством облаков (например, ст. Яп, ст. Понапе – 8,4–8,9 б.) количество облаков нижнего яруса невелико (3,4–5,1 б.). Границы субэкваториальной зоны определяет внутритропическая зона конвергенции (ВЗК), которая является переходной зоной, разделяющей пассаты обоих полушарий. По данным [19] ясное небо здесь бывает не чаще 5% времени, а пасмурное – около 80% по общей облачности и около

50% по нижней облачности. Океанический тропический климат отличается от экваториального меньшей облачностью. Погода в основном антициклональная, с преобладанием полуясного неба. В субтропической зоне летом также господствует режим антициклонов, а зимой — циклоническая деятельность. Количество облаков по нижней облачности на станциях, расположенных в тропической (III) и субтропической (IV) зонах, составляет около 3–6 баллов летом, 4–7 баллов зимой. В умеренной (V) зоне в течение всего года развивается циклоническая деятельность, поэтому велико количество облаков, причем преобладают облака нижнего яруса. Повторяемость пасмурного неба по нижней облачности составляет, в основном, 60–80%. В субарктической (VI) зоне средний балл нижней облачности составляет не менее 7 и зимой и летом. Сплошной облачный покров (I0б) отмечается почти в половине всех случаев наблюдений. В тропических широтах ( $0$ – $30^{\circ}$  широты) господствуют облака кучевых форм. В [15] выделяют три типа облачного неба над тропическим океаном. При невозмущенном состоянии атмосферы, в области пассатов наиболее часто встречаются отдельные кучевые облака (*Cu hinc*, *Cu fr*, *Cu med*). При возмущенном состоянии атмосферы в районе ВЭК наблюдаются не единичные облака, а облачные поля, отличающиеся разнообразием форм облаков различных размеров и высот оснований. Преобладают мощные кучевые (*Cu cong*) и кучево-дождевые (*Cb*), мощность которых превышает мощность этих облаков в умеренных широтах; *Cu cong* – 4–7 км, *Cb* – от 7–8 км до 10–12 км, 16 км. Обычно облака ВЭК выстраиваются в гряды в длину несколько сот километров, в ширину – 50–60, а иногда – 80–100 км [19, 20]. В тропических же широтах в районах холоцных океанических течений наблюдаются облачные поля, представляющие собой сплошной покров низких *St*, *Sc*, мощностью в несколько сот метров. Во внутриводических широтах повторяемость конвективных облаков становится меньше – 20–50% в умеренной зоне (особенно летом). Часто встречаются слоистые, слоисто-кучевые облака. В субарктической зоне их повторяемость летом увеличивается в 1,5–2 раза по сравнению с умеренной зоной, достигая 70–80%. Вероятность слоисто-дождевых облаков составляет 10–20%. В полярных широтах охлаждение воздуха снизу вызывает образование низких слоистых облаков в ла-

бое время года.)

Из-за малочисленности измерений водности облаков над океаном использовались данные наблюдений над сушей. Значения средней ( $\bar{w}$ ) и максимальной ( $w_{max}$ ) водности на разных уровнях в кучевых облаках различной мощности (до 5 км) приводятся в [21]. Данные получены по 1500 измерениям на территории СССР и относятся к достаточно крупным облакам (с размерами порядка километра и более). Значения водности, которые использовались в моделях кучевых облаков, следующие [21]:

	Толщина облака, сотни метров			
	5 - 10	10 - 15	25 - 30	45 - 50
$\bar{w}$ (г/м <sup>3</sup> )	0,27	0,36	0,80	1,50
$w_{max}$ (г/м <sup>3</sup> )	0,45	0,84	2,07	3,99

Средняя водность облаков во внутропических широтах зимой считалась в 1,5-2 раза меньше, чем летом [22].

Распределение с высотой водности  $w$  для конвективных облаков аппроксимировали эмпирическим соотношением, полученным на основе экспериментов в виде [21]:

$$w = A H^{4/3} \xi (1 - \xi)^{1/3}, \quad \text{где } \xi = \frac{h - h_0}{H}, \quad (I)$$

$H$  — мощность облака,  $h_0$  — высота основания облака.

Результаты измерений водности в слоистых, слоисто-кучевых облаках над территорией Украины обобщены в [23], где приводятся значения водности в облаках в зависимости от мощности облачного слоя для различной температуры:

Мощность облака, сотни м	Интервал температуры, град.				
	-15,0, -10,1	-10,0, -5,1	-5,0, -0,1	0,0, 4,9	5,0, 9,9
2	0,06	0,08	0,12	0,16	0,22
4	0,12	0,16	0,23	0,31	0,36
6	0,17	0,22	0,30	0,40	0,45

На основании данных Авиационно-климатического атласа — справочника СССР в [24] приводятся средние годовые характеристики

водности отдельных форм облаков в зависимости от температуры по территории СССР:

Форма облаков	St			Sc			Ns		
Темпера- ттура, $t^{\circ}\text{C}$	10+5	0+-5	-10+ -15	10+5	0+-5	-10+ -15	10+5	0+-5	-10+ -15
Число измере- ний N	308	1215	137	669	2644	1191	267	1677	365
$w$ ( $\text{г}/\text{м}^3$ )	0,26	0,23	0,18	0,26	0,20	0,15	0,35	0,22	0,15

Вертикальное распределение водности в слоисто-образных облаках описывается следующей формулой:

$$w = c \xi (1 - \xi), \quad \text{где } \xi = \frac{h - h_0}{H}, \quad (2)$$

H - мощность облака,  $h_0$  - высота основания облака.

При расчетах мощность облака 5 км принималась за максимальную (минимальная мощность 0,5 км для кучевых облаков, 0,2 км - для слоистых). Необходимо отметить, что в приэкваториальных широтах мощные облака более распространены, чем в высоких широтах [20]. Сведения о вертикальных размерах облаков над океанами редки и имеются только в материалах специальных экспедиций. По данным спутниковых наблюдений особенности распределения средней высоты верхней границы облаков в июле 1972 года (рис. 3) обсуждаются в [25]. Точность, с которой определялась высота,  $\pm 1$  км. Над северной частью Тихого океана высота верхней границы облаков увеличивается от  $\sim 5$  км в приэкваториальных широтах до  $\sim 3$  км - в высоких широтах. Над Атлантическим океаном значения высоты распределяются почти аналогично, за исключением западной части океана, где мощная кучевая облачность распространяется до  $30-35^{\circ}$  северной широты из-за вхождения в этот район тропических циклонов. В [26] на основании использования косвенного метода определения толщины облаков по высоте их верхней границы по данным [25] составлена карта распределения средней толщины облаков по северному полушарию (рис. 4). Значения средней толщины облаков над оке-



Р и с. 3. Высота верхней границы облаков (км) над северным полушарием. Июль 1972 г.



Р и с. . Кarta-схема распределения средней толщины облаков. Июль 1972 г.: 1 - районы, где расчет толщины не производился, 2 - НИС "Профессор Войков", 3 - НИС "Профессор Зубов"

анами увеличиваются с уменьшением широты и достигают максимальных значений в тропической и экваториальной зонах (Восточная Атлантика в ВЭК  $\sim 6$  км). В результате влияния холодных течений (например, Канарского в Атлантическом океане) создается неравномерность широтного распределения толщины облаков.

Для территории СССР в [27] приводятся графики и таблицы обеспеченности толщин облаков различных форм.

Образование облаков над морем имеет характерные особенности [28], поэтому приведенные выше данные могут быть лишь ориентировочными для внетропических широт океанов и позволяет сделать оценку повторяемости облачных контрастов.

Для моделей атмосферы рассчитывалась оптическая толщина и радиояркостная температура. При наблюдении сверху над спокойной водной поверхностью радиояркостная температура определяется излучением поверхности, ослабленным в атмосфере, излучением слоя атмосферы между поверхностью и приемником и зеркально отраженным излучением всей атмосферы:

$$T_a(\lambda, \theta) = T_p(1 - R_{\lambda, \theta}) \exp \left[ - \int_0^{\infty} \chi_{\lambda}(z') \sec \theta dz' \right] + \int_0^{\infty} T(z) \chi_{\lambda}(z) \times \\ \times \exp \left[ - \int_0^{\infty} \chi_{\lambda}(z') \sec \theta dz' \right] \sec \theta dz + R_{\lambda, \theta} \exp \left[ - \int_0^{\infty} \chi_{\lambda}(z) \sec \theta dz \right] \times \\ \times \int_0^{\infty} T(z) \chi_{\lambda}(z) \exp \left[ - \int_0^z \chi_{\lambda}(z') \sec \theta dz' \right] \sec \theta dz, \quad (3)$$

$$\text{где } T^H(\lambda, \theta) = \int_0^{\infty} T(z) \chi_{\lambda}(z) \exp \left[ - \int_0^z \chi_{\lambda}(z') \sec \theta dz' \right] \sec \theta dz, \quad (4)$$

$T_p$  и  $R_{\lambda, \theta}$  температура и коэффициент отражения подстилающей поверхности,  $z$  - высота,  $T(z)$  - температура ( $^0\text{K}$ ) на высоте,  $\chi_{\lambda}(z)$  - коэффициент поглощения,  $\lambda$  - длина волны,  $\theta$  - угол, отсчитываемый от надира.

Коэффициент отражения подстилающей поверхности  $R_{\lambda, \theta}$  зависит от поляризации излучения и может быть вычислен по формулам [29, 30] :

$$R_{\lambda} = 1 - \frac{2\sqrt{2}\cos\theta\sqrt{\epsilon' + |\epsilon|}}{\cos^2\theta + \sqrt{2}\cos\theta\sqrt{\epsilon' + |\epsilon| + |\epsilon|}}, \quad (5)$$

$$R_{\lambda} = 1 - \frac{2\sqrt{2}\cos\theta\sqrt{\epsilon' + |\epsilon|}}{|\epsilon|\cos^2\theta + \sqrt{2}\cos\theta\sqrt{\epsilon' + |\epsilon| + 1}} \quad (6)$$

$|\epsilon| = \sqrt{(\epsilon')^2 + (\epsilon'')^2}$ , где  $\epsilon$  - комплексная диэлектрическая проницаемость воды,  $\epsilon'$  и  $\epsilon''$  - реальная и мнимая части диэлектрической проницаемости воды.

Оптическая толщина атмосферы равна

$$\tau_{\lambda} = \int_0^{\infty} \mathfrak{Z}_{\lambda}(z) dz. \quad (7)$$

Коэффициент поглощения в данном диапазоне длин волн складывается из коэффициентов поглощения в водяном паре, кислороде и жидкокапельной влаге облаков:

$$\mathfrak{Z}_{\lambda}(z) = \mathfrak{Z}_{\lambda H_2O}(z) + \mathfrak{Z}_{\lambda O_2}(z) + \mathfrak{Z}_{\lambda \text{обл}}(z). \quad (8)$$

Для вычисления коэффициентов поглощения  $\mathfrak{Z}$   $\text{km}^{-1}$  использовались формулы [3, 31]

$$\begin{aligned} \mathfrak{Z}_{\lambda H_2O} &= \frac{1}{4,34} \left\{ 1,52 \cdot 10^{-6} \frac{P}{T^{5/2}} e^{-\frac{644}{T}} \frac{4v^2 v_0^2 \Delta v}{(v^2 - v_0^2) + 4v(\Delta v)^2} + \right. \\ &\quad \left. + 2,30 \cdot 10^{-27} \frac{P}{T^{5/2}} v^2 (\Delta v)_H \right\}, \end{aligned} \quad (9)$$

$$\mathfrak{Z}_{\lambda O_2} = \frac{1}{4,34} C_{\lambda} P^2 T^{-2,8}, \quad (10)$$

$$\mathfrak{Z}_{\lambda \text{обл}} = \frac{1,884}{\lambda} \left[ \frac{3\epsilon''}{(\epsilon' + 2)^2 + (\epsilon'')^2} \right] w, \quad (II)$$

где  $P$  - абсолютная влажность воздуха в  $\text{г}/\text{м}^3$ ,  $T$  - температура в  $^{\circ}\text{К}$ ,  $P$  - давление в  $\text{мм Hg}$ ,  $w$  - водность облаков в  $\text{г}/\text{м}^3$ ,  $\nu$  - частота излучения в Гц,  $\nu = 29,979 \cdot 10^9$ ,  $v_0 = 22,235 \cdot 10^9$ ,

$$\Delta \nu = 2,62 \cdot 10^9 \frac{P/760}{(T/316)^{0,625}} [I+0,0046] .$$

$$(\Delta \nu)_M = 2,76 \cdot 10^9 (P/760) (T/300)^{-0.65} ,$$

$\lambda$ [см]	0,8	1,35
$C_\lambda$	0,662	0,185

Контрасти оптической толщины ( $\Delta \tau$ ) и радиояркостной температуры ( $\Delta T_y$ ) определялись как разность между значениями при облачном и безоблачном небе. Радиолокационный контраст определяется выражением ( $I - e^{-2\Delta \tau}$ ), при малых  $\Delta \tau$  составляет  $\approx 2\Delta \tau$ .

В результате расчетов можно определить вариации контрастов оптической толщины и радиояркостной температуры для моделей облачной атмосферы.

В табл. 3 приводится оптическая толщина ( $\tau$ ) и радиояркостная температура ( $T_y$ ) безоблачной атмосферы в зависимости от угла зондирования для климатических областей (см. рис. I,2 и табл. 1). Значения оптической толщины, увеличиваясь в интервале углов  $0\text{--}70^\circ$  ( $0,06\text{--}0,13 + 0,19\text{--}0,40 \sim \lambda = 0,8 \text{ см}, 0,05\text{--}0,44 + 0,15\text{--}1,30 \sim \lambda = 1,35 \text{ см}$ ), возрастают от северных к южным широтам; на длине волны 1,35 см широтные различия выражены ярче. Для зимы значения  $\tau$  несколько ниже по сравнению с летом. Наибольшие значения  $\tau$ , как и  $T_y$ , приходятся на климатические области в тропической ( $Ш_{26}$ ) и субэкваториальной ( $P_1$ ) зонах океанов (на рис. I,2 № I3, I4 – Атлантический океан, № I3, I4, I7, I8 – Тихий океан). Широтная изменчивость значений радиояркостной температуры безоблачной атмосферы ( $\theta = 0^\circ$ ) составляет  $\sim 65^\circ$  (1,35 см),  $\sim 10\text{--}15^\circ$  (0,8 см). Значения  $T_y$  безоблачной атмосферы при наблюдении в nadir составляют на длине волны 0,8 см  $\sim 155\text{--}170^\circ$ , на 1,35 см –  $135\text{--}190^\circ$ . С увеличением угла значения  $T_y$  на горизонтальной поляризации уменьшаются или возрастают на  $\sim 30\text{--}40^\circ$ , на вертикальной поляризации возрастают на  $\sim 60\text{--}100^\circ$ .

Контрасти оптической толщины ( $\Delta \tau$ ) и радиояркостной температуры ( $\Delta T_y$ ) для моделей облачной атмосферы приводятся на рис. 5, 6, 7 по Атлантическому океану летом для  $\theta = 0^\circ$  в табл. 4 – по Тихому океану летом (выборочно для 5 климатических областей) для

Таблица 3

Значения оптической толщины ( $\Sigma$ ) и радиоакустической температуры ( $T_x$ )  
безоблачной атмосферы

Атл. океан к пункт на рис.		$T_x$ (нГц)											
		лето				зима							
		$\lambda = 0,8$ см	$\lambda = 1,35$ см	$\lambda = 0,8$ см	$\lambda = 1,35$ см	$\theta = 0^\circ$	$\theta = -40^\circ$	$\theta = 0^\circ$	$\theta = -40^\circ$	$\theta = 70^\circ$	$\theta = 0^\circ$	$\theta = -40^\circ$	$\theta = 70^\circ$
1	2	1	3	1	4	1	5	1	6	1	7	1	8
1	2	1	3	1	4	1	5	1	6	1	7	1	8
океан													
1	0,0842	0,1099	0,2461	0,1373	0,1793	0,4016	0,0776	0,1013	0,2268	0,0566	0,0739	0,1655	
2	0,0876	0,1143	0,2561	0,1578	0,2050	0,4615	0,0736	0,0960	0,2151	0,0805	0,1050	0,2352	
3	0,0907	0,1184	0,2653	0,1787	0,2332	0,5224	0,0757	0,0988	0,2214	0,0977	0,1276	0,2857	
4	0,0760	0,0992	0,2222	0,1162	0,1517	0,3397	0,0674	0,0880	0,1971	0,0566	0,0739	0,1635	
5	0,0856	0,1118	0,2504	0,1489	0,1943	0,4352	0,0659	0,0874	0,1957	0,0555	0,0725	0,1623	
6	0,0957	0,1249	0,2797	0,2020	0,2637	0,5907	0,0836	0,1092	0,2446	0,1335	0,1743	0,3903	
7	0,1055	0,1379	0,3088	0,2555	0,3336	0,7471	0,0880	0,1148	0,2572	0,1395	0,1822	0,4080	
8	0,1039	0,1356	0,3038	0,2540	0,3316	0,7427	0,0802	0,1046	0,2344	0,1264	0,1650	0,3695	
9	0,0864	0,1128	0,2527	0,1732	0,2261	0,5064	0,0812	0,1060	0,2374	0,1348	0,1760	0,3941	
10	0,1001	0,1307	0,2928	0,2564	0,3347	0,7497	0,0814	0,1062	0,2379	0,1503	0,2099	0,4702	
11	0,1026	0,1339	0,2999	0,2484	0,3242	0,7261	0,0936	0,1222	0,2738	0,2045	0,2669	0,5978	
12	0,1107	0,1445	0,3236	0,2837	0,3703	0,8295	0,0918	0,1199	0,2685	0,1810	0,2363	0,5292	
13	0,1153	0,1505	0,3372	0,3241	0,4231	0,9475	0,1119	0,1460	0,3271	0,3150	0,4112	0,9210	
14	0,1172	0,1530	0,3428	0,3297	0,4304	0,9640	0,1043	0,1362	0,3051	0,2841	0,3709	0,8307	

Таблица 3 (продолжение)

	1	2	1	3	1	4	1	5	1	6	1	7	1	8	1	9	1	10	1	11	1	12	1	13
Тихий океан	0,0801	0,1045	0,2341	0,1243	0,1623	0,3635	0,0665	0,0867	0,1943	0,0525	0,0686	0,1535												
1	2	0,0852	0,1112	0,2490	0,1472	0,1922	0,4305	0,0707	0,0923	0,2066	0,0756	0,0986	0,2209											
3	0,0905	0,1182	0,2647	0,1788	0,2334	0,5228	0,0755	0,0986	0,2208	0,0937	0,1224	0,2741												
4	0,0927	0,1210	0,2710	0,1906	0,2488	0,5573	0,0649	0,0847	0,1897	0,0438	0,0572	0,1282												
5	0,0816	0,1065	0,2385	0,1384	0,1807	0,4046	0,0757	0,0989	0,2215	0,0977	0,1276	0,2858												
6	0,0859	0,1121	0,2512	0,1508	0,1969	0,4410	0,0764	0,0997	0,2233	0,1052	0,1373	0,3075												
7	0,1220	0,1593	0,3568	0,3577	0,4670	1,0454	0,0780	0,1018	0,2280	0,1051	0,1371	0,3072												
8	0,0856	0,1250	0,2823	0,2223	0,2902	0,6501	0,0782	0,1021	0,2287	0,1271	0,1659	0,3716												
9	0,0905	0,1181	0,2646	0,1789	0,2335	0,5231	0,0915	0,1194	0,2674	0,1831	0,2390	0,5354												
10	0,0950	0,1240	0,2778	0,2140	0,2793	0,6256	0,0898	0,1173	0,2627	0,1539	0,2479	0,5553												
11	0,1087	0,1419	0,3179	0,2871	0,3747	0,8393	0,0901	0,1176	0,2635	0,1989	0,2596	0,5815												
12	0,1008	0,1315	0,2946	0,2461	0,3213	0,7196	0,1038	0,1355	0,3035	0,2468	0,3222	0,7217												
13	0,1191	0,1564	0,3481	0,3327	0,4344	0,9729	0,0942	0,1229	0,2753	0,2002	0,2613	0,3854												
14	0,1374	0,1794	0,4018	0,4465	0,5829	1,3056	0,0948	0,1238	0,2772	0,2108	0,2752	0,6163												
15	0,0996	0,1300	0,2912	0,2345	0,3061	0,6885	0,0851	0,1111	0,2489	0,1620	0,2114	0,4736												
16	0,1091	0,1424	0,3189	0,2868	0,3743	0,8384	0,0894	0,1167	0,2615	0,1880	0,2454	0,5495												
17	0,1145	0,1495	0,3349	0,3289	0,4294	0,9616	0,1096	0,1430	0,3204	0,3011	0,3930	0,8803												
18	0,1153	0,1505	0,3370	0,3312	0,4323	0,9883	0,1105	0,1443	0,3231	0,3136	0,4094	0,9170												
19	0,1057	0,1379	0,3090	0,2899	0,3654	0,8184	0,1066	0,1392	0,3117	0,2788	0,3640	0,8152												
20	0,1023	0,1336	0,2992	0,2630	0,3433	0,7690	0,0961	0,1255	0,2811	0,2261	0,2951	0,6610												

Таблица 3 (продолжение)

№ пункта на рис.	океан,	T <sub>я</sub> г/в (°К), лето.							
		λ = 0,8 см				λ = 1,35 см			
		I	2	3	4	I	5	6	7
<b>Атл. океан</b>									
1	I	159,6617	I45,2565	I39,3040	I57,3078	I50,2605	I69,4365		
	I	159,6617	I86,3938	250,8138	I57,3078	I84,0169	250,0673		
2	I	158,6734	I44,9326	I42,0881	I61,8049	I56,7440	I82,I206		
	I	158,6734	I85,8523	253,2441	I61,8049	I88,9113	254,9179		
3	I	159,4384	I46,1862	I45,4451	I66,8565	I63,5613	I93,7071		
	I	159,4384	I86,7672	254,6983	I66,8565	I94,0543	258,3276		
4	I	154,6717	I40,0492	I34,1893	I53,4149	I45,I485	I61,6771		
	I	154,6717	I82,4357	255,3170	I53,4149	I81,1945	255,3696		
5	I	159,3900	I45,3312	I41,0022	I60,1210	I54,2795	I77,3560		
	I	159,3900	I86,3431	252,1582	I60,1210	I87,0580	253,0546		
6	I	159,5839	I47,I906	I50,4098	I73,5621	I72,2991	207,8075		
	I	159,5839	I87,5275	258,8816	I73,5621	201,3218	265,5333		
7	I	I61,9980	I50,6860	I58,0623	I84,5699	I86,4698	226,7814		
	I	I61,9980	I50,0525	260,8204	I84,5699	211,8644	269,6271		
8	I	I61,7760	I50,4641	I58,3932	I86,4997	I88,5419	229,8420		
	I	I61,7760	I90,3048	263,8608	I86,4997	214,3435	273,8225		
9	I	I57,6519	I44,5428	I45,4634	I69,4156	I66,5085	I99,5059		
	I	I57,6519	I85,9924	260,7854	I69,4156	I97,8876	267,7514		
10	I	I61,3240	I49,7794	I57,0354	I88,0301	I90,4483	232,8098		
	I	I61,3240	I89,9788	264,5906	I88,0301	216,0434	275,9170		
11	I	I61,9101	I50,5830	I58,7824	I87,1697	I89,I781	231,2813		
	I	I61,9101	I90,6934	265,6740	I87,1697	215,4439	276,7527		
12	I	I63,4469	I52,8234	I63,2698	I92,1599	I95,6134	237,9204		
	I	I63,4469	I92,0215	264,9539	I92,1599	219,5983	275,3020		
13	I	I65,1041	I55,0864	I67,9528	200,7285	206,0199	249,3021		
	I	I65,1041	I93,9145	267,3665	200,7285	227,7491	279,1844		
14	I	I65,3918	I55,5139	I68,7677	201,I996	206,6128	249,5401		
	I	I65,3918	I94,1367	267,0513	201,I996	228,0292	238,5271		
<b>Тихий океан</b>									
1	I	I58,4179	I43,7773	I37,0240	I54,7601	I46,8370	I63,5524		
	I	I58,4179	I85,3488	251,4915	I54,7601	I81,7007	250,3596		
2	I	I58,5434	I44,6965	I41,5197	I60,2704	I54,6141	I78,6968		
18	I	I58,5434	I85,8102	253,8365	I60,2704	I87,5629	255,4447		

## Зима

	I	!	2	!	3	!	4	!	5	!	6	!	7
Тихий океан													
3	156,972I	141,5979	131,5789	I46,9103	I35,8162	I41,0528							
	156,972I	183,7333	249,4620	I46,9103	I73,5788	244,7900							
4	155,3388	I38,5190	I21,8808	I34,6614	I17,8102	98, I483							
	155,3388	I81,8027	246,4779	I34,6614	160,6691	235,2793							
5	155,3163	I40,3914	I32,8014	I48,1135	I37,8402	I46,7425							
	155,3163	I82,6377	252,5002	I48,1135	I75,3555,	I49,4011							
6	I55,7556	I40,8608	I33,3260	I49,8144	I40,2131	I51,4484							
	I55,7556	I83,0027	252,2086	I49,8144	I76,9996	249,6865							
7	I55,4755	I40,5977	I33,0742	I48,9836	I39, I206	I49,2179							
	I55,4755	I82,6584	251,5537	I48,9836	I76,0393	248,3122							
8	I55,2210	I40,9715	I36,8807	I56,8531	I49,7615	I70,4611							
	I55,2210	I83,1898	257,0233	I56,8531	I84,9125	258,8318							
9	I58,2780	I45,3988	I46,7707	I69,2553	I66,5610	I98,9226							
	I58,2780	I86,2483	258,3923	I69,2553	I97, I248	263,6500							
10	I58, I784	I45,3486	I47,4724	I72,9869	I71,0883	I06, I093							
	I58, I784	I86,6136	261,5801	I72,9869	201,3945	269,0821							
11	I58,6632	I45,9916	I49,0109	I76,2684	I75, I984	I212,4488							
	I58,6632	I87,3212	263,3837	I76,2684	204,9110	272,4305							
12	I61,9501	I50,6951	I58,8568	I85,5394	I87,3698	I228,8875							
	I61,9501	I90,4873	264,0585	I85,5394	213,5535	274,3595							
13	I59,2279	I46,5396	I48,4002	I72,0870	I70,4582	I204,6839							
	I59,2279	I86,9652	257,2972	I72,0870	I99,5681	262,9337							
14	I58,9722	I46,4491	I49,2779	I74,9298	I73,9903	I209,7460							
	I58,9722	I87,0169	259,2225	I74,9298	202,6061	265,6375							
15	I56,8418	I43,3660	I42,5108	I65,1611	I61,0040	I90, I407							
	I56,8418	I84,9093	258,4263	I65,1611	I93,2708	263,0581							
16	I58,2314	I45,4101	I47,6091	I72,8761	I70,9357	I206,0627							
	I58,2314	I86,6983	261,8565	I72,8761	201,3603	269,5751							
17	I63,7820	I53,2183	I64,2076	I96,9825	201,4517	I244,9946							
	I63,7820	I92,6055	266,8370	I96,9825	224,4510	278,8498							
18	I64, I387	I53,6729	I65,1462	I99,6168	204,5551	I248, I014							
	I64, I387	I93,0772	267,7599	I99,6168	226,9547	279,9556							
19	I63, I570	I52,3033	I62,3613	I93,6071	I97, I961	I240,7966							
	I63, I570	I92,0580	267,0626	I93,6071	221,5691	279,2170							
20	I60,3181	I48,3112	I54,0288	I82,7294	I83,4473	I223,9362							
	I60,3181	I89,1180	265,0770	I82,7294	211,2857	275,6554							

Океан, № пункта на рис. I, 2	T <sub>R</sub> г/в (°K), зима							
	$\lambda = 0,3 \text{ см}$				$\lambda = 1,35 \text{ см}$			
	$\theta = 0^\circ$	$\theta = 40^\circ$	$\theta = 70^\circ$	$\theta = 0^\circ$	$\theta = 40^\circ$	$\theta = 70^\circ$	I	II
I	8	9	10	II	12	13		
Атлантический океан								
1	I59,3873	I43,4922	I30,5467	I38,7828	I23,I697	I09,II75		
	I59,3873	I85,3778	I245,5196	I38,7828	I64,6816	I235,8379		
2	I56,I438	I40,4236	I28,8451	I43,2671	I30,6583	I29,8317		
	I56,I438	I82,8244	I248,4110	I43,2671	I69,7691	I242,0462		
3	I56,3889	I41,III18	I31,6186	I47,6145	I36,9622	I43,9426		
	I56,3889	I83,2716	I249,9793	I47,6145	I74,3941	I245,8557		
4	I54,5484	I38,2897	I24,4666	I37,3349	I22,I936	I10,6306		
	I54,5484	I81,3557	I248,4863	I37,3349	I63,7282	I239,1391		
5	I56,II02	I39,5063	I23,8086	I37,6286	I22,0831	I08,4580		
	I56,II02	I82,5430	I246,6983	I37,6286	I63,7086	I236,8036		
6	I56,8716	I42,8194	I38,9185	I56,6681	I49,7607	I70,I536		
	I56,8716	I84,2714	I253,7884	I56,6681	I84,0872	I254,3566		
7	I56,9147	I43,0996	I40,0786	I56,7173	I49,9044	I70,I486		
	I56,9147	I84,2463	I253,2440	I56,7173	I83,9371	I252,8688		
8	I55,2833	I40,9800	I36,3641	I55,I605	I47,6082	I66,2252		
	I55,2833	I82,9772	I255,0400	I55,I605	I82,8235	I255,2162		
9	I55,7339	I41,7361	I38,6317	I58,3383	I51,8205	I74,I516		
	I55,7339	I83,6678	I256,9673	I58,3383	I86,3368	I259,0180		
10	I56,0818	I42,3351	I40,8212	I66,3033	I62,I834	I91,9805		
	I56,0818	I84,4902	I260,5021	I66,3033	I94,8117	I266,2193		
11	I59,5623	I47,2802	I51,7601	I77,6176	I77,0105	I25,2626		
	I59,5623	I88,2024	I263,6612	I77,6176	I206,2369	I273,1283		
12	I58,2598	I45,3831	I46,7360	I68,8574	I66,0307	I98,1406		
	I58,2598	I86,2080	I258,2113	I68,8574	I96,7522	I263,6181		
13	I64,I328	I53,7398	I65,2296	I98,7128	203,5941	246,6874		
	I64,I328	I92,8847	I266,5018	I98,7128	225,8171	278,I400		
14.	I62,0321	I50,8008	I59,1862	I92,4622	I95,9101	I238,2257		
	I62,0321	I90,6918	I264,8658	I92,4622	I219,9515	I275,7399		
Тихий океан								
1	I55,9591	I39,2870	I23,2764	I36,8391	I20,9330	I05,6545		
	I55,9591	I82,3830	I246,5475	I36,8391	I62,8807	I236,2324		
2	I55,8791	I39,9823	I27,7038	I42,4344	I29,4297	I27,0607		
	I55,8791	I82,6414	I248,8906	I42,4344	I68,9795	I242,0923		

## лето

	1	2	3	4	5	6	7
Тихий океан							
3	160,7582	147,2274	145,6891	167,4494	164,0575	193,8030	
	160,7582	188,1395	256,5785	167,4494	194,5854	258,4999	
4	161,0332	147,9020	147,4659	169,7125	167,2583	199,2495	
	161,0332	188,1513	254,2196	169,7125	196,6723	258,7162	
5	156,6245	142,7411	139,9499	159,4071	153,3966	177,2702	
	156,6245	184,4243	256,5413	159,4071	187,3197	259,1201	
6	157,4813	143,9996	142,7890	161,9936	156,9336	183,3809	
	157,4813	185,2520	256,7097	161,9936	189,8369	259,8500	
7	166,1759	156,6240	170,4053	203,0579	209,1736	250,7060	
	166,1759	194,4138	264,2061	203,0579	228,8245	274,9206	
8	160,1502	148,0967	153,0107	179,5700	179,9337	219,1162	
	160,1502	188,4379	261,5471	179,5700	207,5851	270,6862	
9	158,4230	145,6715	147,9382	170,4355	167,8762	201,5670	
	158,4230	186,7274	260,8215	170,4355	198,8371	267,8404	
10	159,8588	147,7007	152,6799	179,5417	179,4707	218,5097	
	159,8588	188,5255	263,9537	179,5417	208,0668	273,5827	
11	163,5600	152,8820	163,5244	194,8581	198,7444	242,2430	
	163,5600	192,4375	267,0614	194,8581	222,6407	279,0307	
12	161,4223	149,8952	157,3509	186,4769	188,2945	230,0233	
	161,4223	190,1940	265,3762	186,4769	214,7360	276,2079	
13	165,7245	156,0136	169,5512	200,7809	206,3580	249,3152	
	165,7245	194,2114	265,5892	200,7809	227,3601	277,2185	
14	170,4723	162,5832	182,3746	218,8899	227,2780	265,6377	
	170,4723	199,2434	269,8473	218,8899	243,2225	280,7622	
15	160,9012	149,1925	155,8322	183,4716	184,5468	225,0904	
	160,9012	189,5597	264,3447	183,4716	211,7331	274,3248	
16	163,6103	152,9555	163,6686	194,7629	198,6247	242,0710	
	163,6103	192,4811	267,0299	194,7629	222,5420	278,9260	
17	165,1340	155,0571	167,9137	202,3002	207,7679	251,0636	
	165,1340	194,1047	268,4232	202,3002	229,3662	280,4257	
18	165,3525	155,3611	168,5237	202,8569	208,4484	251,8546	
	165,3525	194,3311	268,5860	202,8569	229,9086	280,7981	
19	162,9279	151,9501	161,6268	193,8748	197,4285	240,7769	
	162,9279	191,8839	267,2995	193,8748	221,8334	279,2440	
20	161,8726	150,5171	158,6574	189,8962	192,5771	235,1073	
	161,8726	190,6907	265,8926	189,8962	217,9564	277,2255	

Таблица 4

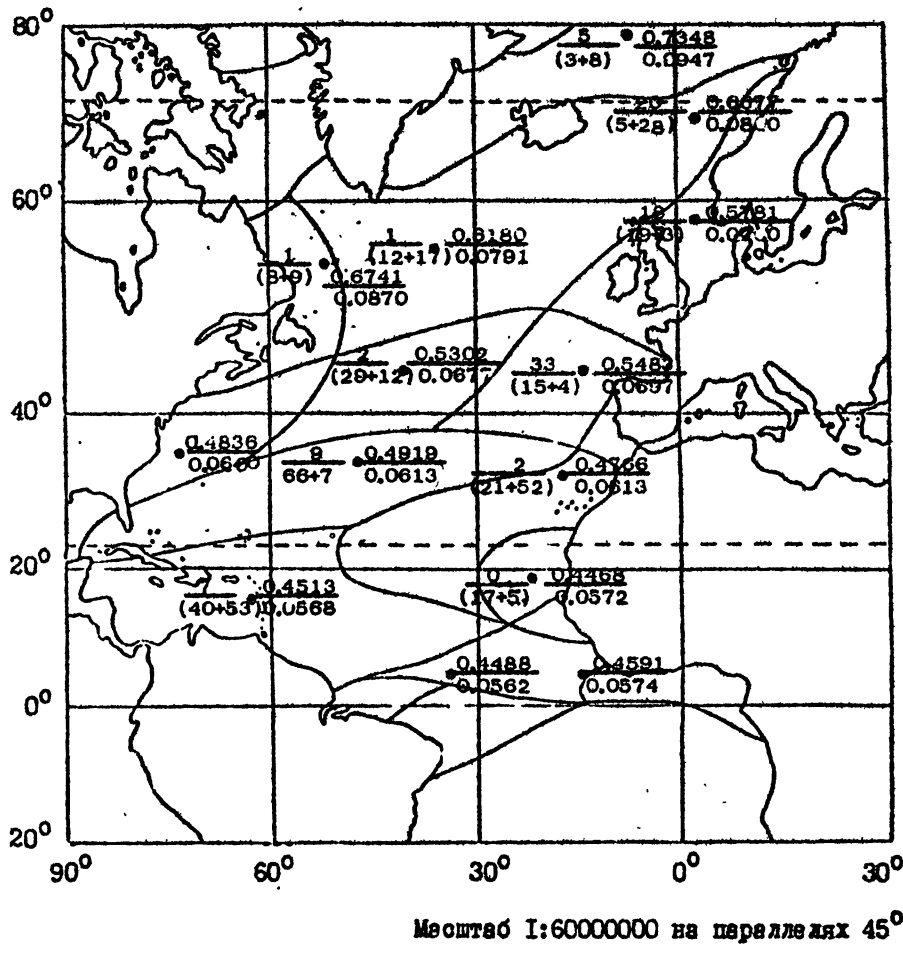
Значения контрастов оптической толщины ( $\Delta T$ ) облачной атмосферы

Океан, пункта на рис. Г,2	Мощность облака Н (км)	лето							
		$\lambda=0,8 \text{ см}$				$\lambda=1,35 \text{ см}$			
		$\theta=0^{\circ}$	$\theta=40^{\circ}$	$\theta=70^{\circ}$	$\theta=0^{\circ}$	$\theta=40^{\circ}$	$\theta=70^{\circ}$	$\theta=0^{\circ}$	$\theta=40^{\circ}$
I	2	3	4	5	6	7	8		
Тихий океан									
I	0,4	0,0286	0,0373	0,0835	0,0106	0,0139	0,0311		
	I	0,0861	0,1124	0,2517	0,0322	0,0421	0,0943		
	3	0,6635	0,8661	1,3399	0,2536	0,3310	0,7414		
3	0,4	0,0309	0,0403	0,0903	0,0113	0,0148	0,0331		
	I	0,0801	0,1046	0,2342	0,0295	0,0386	0,0864		
	3	0,6204	0,8099	1,8140	0,2335	0,3047	0,6826		
7	0,4	0,0243	0,0318	0,0712	0,0089	0,0116	0,0259		
	I	0,0631	0,0824	0,1845	0,0231	0,0301	0,0674		
	3	0,4890	0,6383	1,4297	0,1805	0,2356	0,5276		
9	I	0,0638	0,0833	0,1866	0,0233	0,0305	0,0682		
	3	0,4933	0,6440	1,4424	0,1822	0,2378	0,5327		
	5	1,7968	2,3456	5,2536	0,6751	0,8813	1,9738		
I8	I	0,0543	0,0708	0,1587	0,0197	0,0257	0,0576		
	3	0,4352	0,5682	1,2726	0,1594	0,2081	0,4661		
	5	1,6428	2,1445	4,8032	0,6122	0,7991	1,7899		

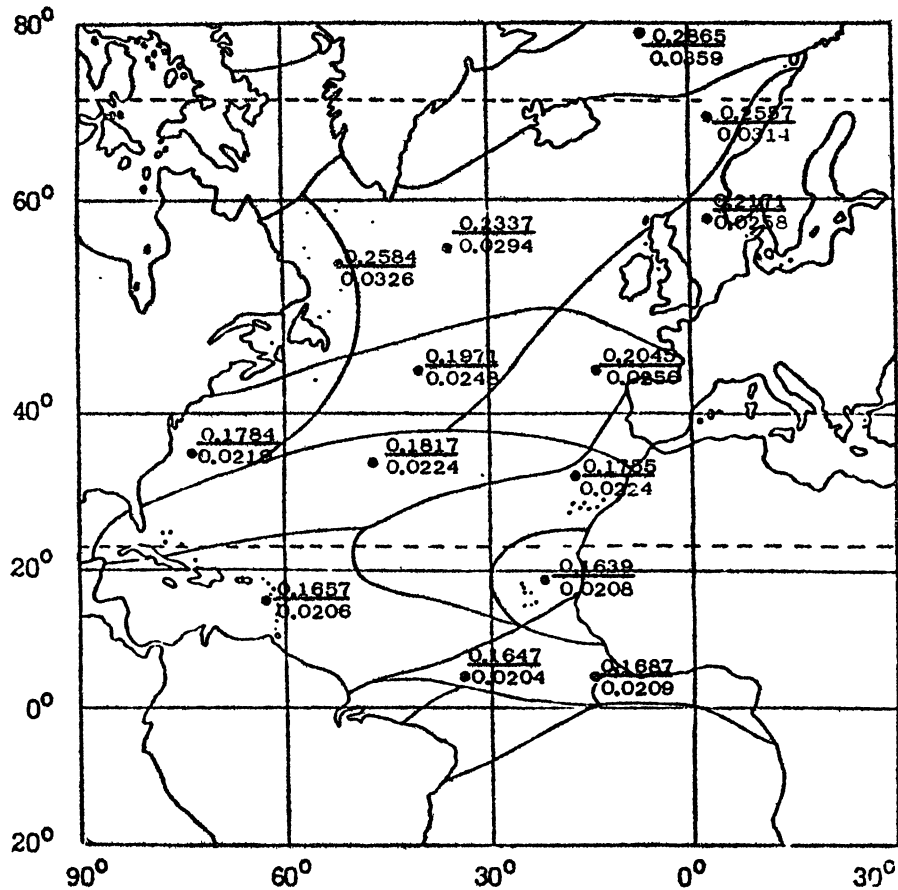
Таблица 4

Значения контрастов радиояркостной температуры ( $\Delta T_{\text{я}}$ ) облачной атмосферы

Океан	Мощ- ность пу- нкта обла- на рис. ка Н 1,2, (км)	лето										
		$\Delta T_{\text{я}}$ г/в (°К)										
		$\lambda = 0,8$ см			$\lambda = 1,35$ см							
		$\theta = 0^{\circ}$	$\theta = 40^{\circ}$	$\theta = 70^{\circ}$	$\theta = 0^{\circ}$	$\theta = 40^{\circ}$	$\theta = 70^{\circ}$	$\theta = 0^{\circ}$	$\theta = 40^{\circ}$	$\theta = 70^{\circ}$		
1	2	9	10	11	12	13	14	1	2	3	4	5
Tихий океан												
I	0,4	6,6339 6,6339	9,6788 6,6356	21,4390 3,8398	2,5894 2,5894	3,5782 2,6238	6,7815 1,5425					
	I	18,7024 18,7024	26,6870 18,3601	54,6275 9,5624	7,5976 7,5976	10,4345 7,6347	19,0949 4,2600					
	3	83,4277 83,4277	105,0679 71,1456	129,9276 18,2202	46,7137 46,7137	60,4822 43,8280	82,5650 16,2167					
	3	0,4	7,2334 7,2334	10,3762 7,2170	22,1314 4,0177	2,5398 2,5398	3,3876 2,5000	5,3868 1,2437				
	I	17,6863 17,6863	25,0272 17,3571	49,6049 8,7717	6,4271 6,4271	8,5270 6,2777	13,1409 2,9612					
	3	81,3643 81,3643	102,1563 69,6900	123,5518 17,0961	40,1721 40,1721	50,4247 36,7255	58,6762 11,2482					
	7	0,4	5,9074 5,9074	8,2174 5,8985	15,6273 3,2145	1,4969 1,4969	1,7860 1,3371	1,6176 0,3925				
	I	14,5787 14,5787	20,0587 14,3613	35,9347 7,2137	3,7817 3,7817	4,4890 3,3514	3,9357 0,9197					
	3	73,6489 73,6489	91,5493 54,6494	104,7911 17,0321	24,2576 24,2576	27,4755 20,2481	18,5775 3,2008					
	9	I	15,6883 15,6883	21,9813 15,7485	43,4072 8,6422	5,4103 5,4103	7,1376 5,3302	10,9000 2,5694				
	3	78,9566 78,9566	99,9204 70,6242	126,2403 20,5607	34,8869 34,8869	44,0244 32,5485	53,2593 10,7166					
	5	114,1865 114,1865	127,7294 87,2453	123,8165 10,9645	80,2167 80,2167	91,1153 65,9603	72,0591 7,6208					
	18	I	13,3700 13,3700	18,4070 13,3226	33,6445 6,8181	3,4944 3,4944	4,2003 3,1426	3,9299 0,8641				
	3	71,9724 71,9724	90,2573 64,2694	107,5104 16,3606	23,4147 23,4147	26,9898 19,8846	19,7771 2,8063					
	5	108,8682 108,8682	119,5612 81,3865	102,6280 2,6206	55,7339 55,7339	57,5558 40,8941	23,5447 -4,1591					

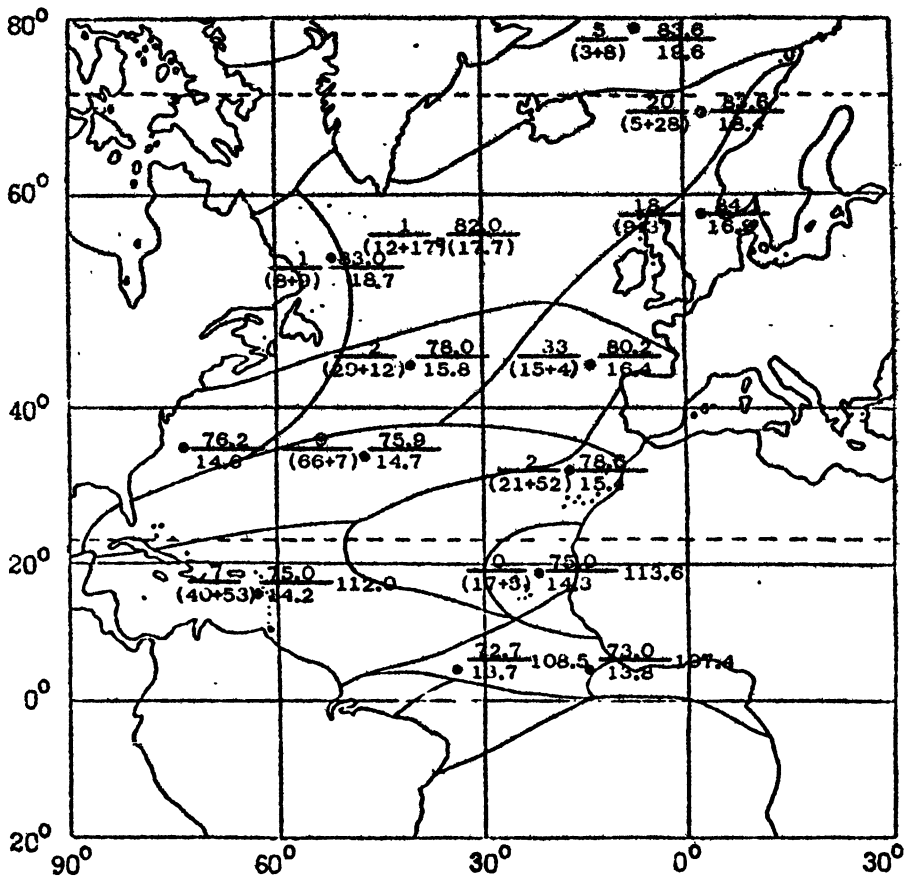


Р и с. 5а. Атлантический океан. Значения контрастов оптической толщины ( $\Delta\tau$ ) для моделей с кучевыми облаками, лето ( $\lambda = 0,6 \text{ см}$ ). Обозначения. Слева приводится повторяемость ( $P\%$ ) облаков различных форм  $P_{cf} / (P_{cu} + P_{cu,sc})$ , справа – величины  $\Delta\tau_{\text{нпр}}$   $H = 3 \text{ км}/H = 1 \text{ км}$ .



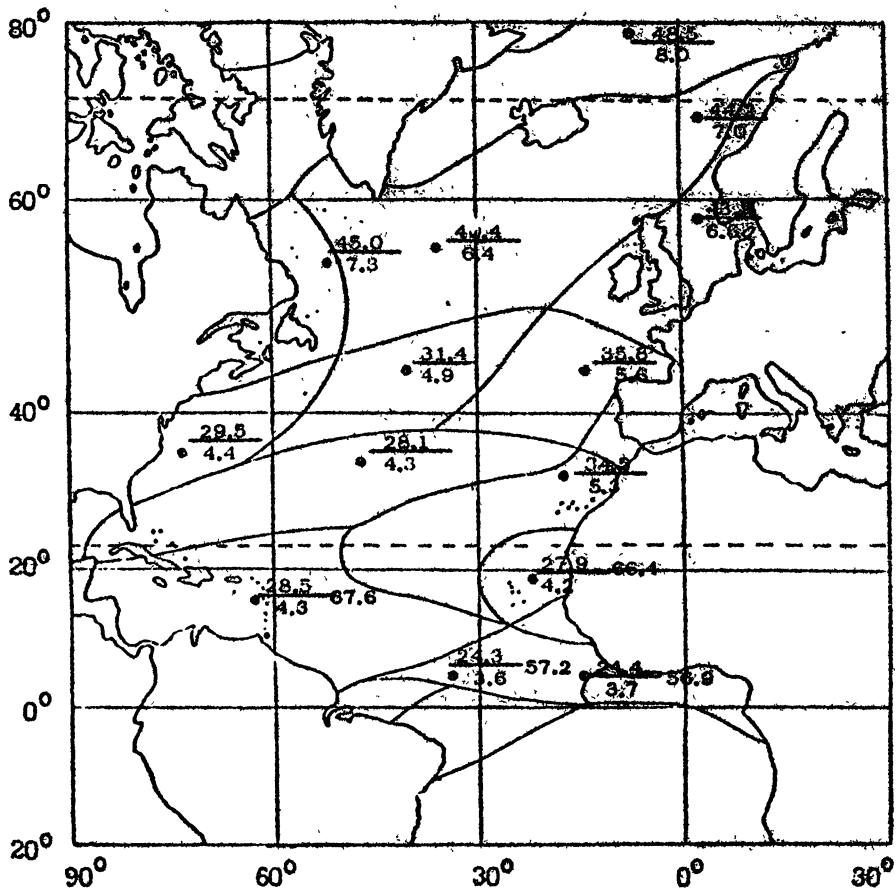
Масштаб I:60000000 на параллелях 45°

Р и с. 5б. Атлантический океан. Значения контрастов оптической толщины ( $\Delta\tau$ ) для моделей с кучевыми облаками, лето ( $\lambda = 1,35$  см). Обозначения. См. рис. 5а



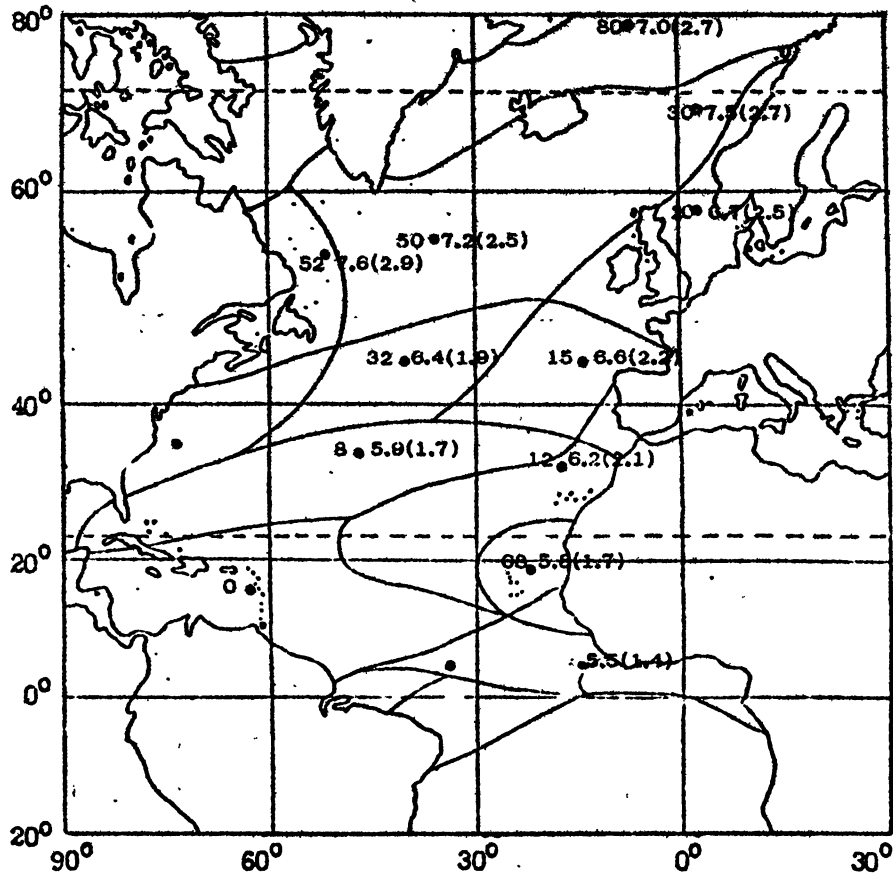
Масштаб I:60000000 на параллелях 45°

Рис. 6а. Атлантический океан. Значения контрастов радиоакустической температуры ( $\Delta T_{\text{я}}$ ) для моделей с кучевыми облаками, лето ( $\lambda = 0,8 \text{ см}$ ). Обозначения. Слева приводится повторяемость ( $P\%$ ) облаков различных форм  $P_{\text{об}} / (P_{\text{об}} + P_{\text{обсд}})$ , справа – величины  $\Delta T^{\circ}\text{K}$   $H=3 \text{ км} / H=1 \text{ км} / H=5 \text{ км}$



Масштаб I:60000000 на параллелях 45°

Р и с. 66. Атлантический океан. Значения контрастов радиоактивной температуры ( $\Delta T_\gamma$ ) для моделей с кучевыми облаками, лето ( $\lambda = 1,35$  см). Обозначения. См. рис. 6а.



Масштаб 1:60000000 на параллелях 45°

Р и с. 7. Атлантический океан. Значение контрастов радиопрозрачности температуры ( $\Delta T_0$ ) для моделей со слоисто-кучевыми облаками, лето ( $\lambda = 0,8$  и  $1,35$  см). Обозначения. Слева приводится повторяемость ( $P\%$ ) облаков различных форм  $P_{st, sc}$ , справа – величины  $T^0 K$   $0,8$  см ( $\Delta T^0 K$   $1,35$  см).

Таблица 5

Значения контрастов оптической толщины ( $\Delta T$ ) облачной атмосферы

Океан, пункта на рис. I,2	Мощность облака $H$ (км)	зима							
		$\Delta T$ (нпр.)							
		$\lambda = 0,8$ см				$\lambda = 1,35$ см			
		$\theta = 0^{\circ}$	$\theta = 40^{\circ}$	$\theta = 70^{\circ}$	$\theta = 0^{\circ}$	$\theta = 40^{\circ}$	$\theta = 70^{\circ}$	$\theta = 0^{\circ}$	$\theta = 40^{\circ}$
I	!	2	3	4	5	6	7	8	
Атлант. океан	I	0,4	0,0176	0,0230	0,0516	0,0070	0,0091	0,0203	
	3*	0,1726	0,2253	0,5045	0,0728	0,0951	0,2130		
	I	0,0602	0,0786	0,1761	0,0241	0,0315	0,0705		
	3	0,4723	0,6166	1,3810	0,2032	0,2853	0,5943		
	2	0,4	0,0242	0,0315	0,0706	0,0092	0,0120	0,0269	
	3*	0,1820	0,2376	0,5321	0,0730	0,0953	0,2135		
	I	0,0629	0,0886	0,1985	0,0261	0,0341	0,0764		
	3	0,5573	0,7275	1,6295	0,2271	0,2965	0,6641		
	3	0,10224	0,0293	0,0655	0,0084	0,0110	0,0247		
	3*	0,2026	0,2645	0,5925	0,0792	0,1033	0,2314		
4	I	0,0625	0,0816	0,1828	0,0237	0,0310	0,0694		
	3	0,5068	0,6616	1,4819	0,2001	0,2612	0,5850		
	0,4	0,0230	0,0300	0,0673	0,0089	0,0116	0,0260		
	3*	0,1601	0,2089	0,4680	0,0653	0,0852	0,1909		
I	I	0,0736	0,0961	0,2151	0,0288	0,0376	0,0841		
	3	0,5834	0,7616	1,7059	0,2417	0,3155	0,7066		



Таблица 5

Значения контрастов оптической толщины ( $\Delta t$ ) облачной атмосферы

		зима									
		1	2	3	4	5	6	7	8		
Тихий океан	I	0,4	0,0184	0,0241	0,0539	0,0071	0,0093	0,0208			
	3*		0,1606	0,2096	0,4696	0,0656	0,0856	0,1918			
	I		0,0553	0,0722	0,1617	0,0216	0,0282	0,0633			
	3		0,4419	0,5769	1,2921	0,1834	0,2394	0,5362			
2	0,4	0,0239	0,0312	0,0699	0,0090	0,0118	0,0264				
	3*	0,1895	0,2473	0,5540	0,0745	0,0972	0,2178				
	I	0,0657	0,0858	0,1921	0,0251	0,0327	0,0733				
	3	0,5226	0,6822	1,5280	0,2078	0,2713	0,6076				
3	0,4	0,0226	0,0295	0,0662	0,0085	0,0111	0,0249				
	3*	0,2042	0,2666	0,5971	0,0799	0,1043	0,2336				
	I	0,0631	0,0824	0,1845	0,0240	0,0313	0,0701				
	3	0,5105	0,6664	1,4927	0,2019	0,2636	0,5904				
4	0,4	0,0180	0,0234	0,0525	0,0069	0,0090	0,0202				
	3*	0,1621	0,2116	0,4738	0,0667	0,0870	0,1949				
	I	0,0545	0,0712	0,1694	0,0213	0,0278	0,0622				
	3	0,4485	0,5855	1,3113	0,1882	0,2457	0,5503				

Таблица 5

Значения контрастов радиояркостной температуры ( $\delta T_a$ ) облачной атмосферы

Океан и пур- нность обла- сти на рис. I,2	Мощ- ность излуче- ния H (км)	зима											
		$\Delta T_a$ г/в (°К)											
		$\lambda = 0,8$ см			$\lambda = 1,35$ см								
I	2	9	10	II	12	13	14	θ=0°	θ=40°	θ=70°	θ=0°	θ=40°	θ=70°
Тихий океан	0,4	4,0992	6,0737	I4,6009	I,8746	2,7254	6,5886						
		4,0992	4,0794	2,2205	I,8746	I,9642	I,3504						
	3*	29,4705	42,I484	83,1800	I5,5383	22,2824	49,4077						
		29,4705	27,7837	9,9415	I5,5383	I5,8685	I8,9915						
	I	II,6746	I7,I341	38,9692	5,538I	8,0246	I8,9769						
		II,6746	II,4498	5,588I	5,538I	5,7643	I3,7715						
	3	6I,6665	82,6069	I23,2372	38,283I	53,I788	I00,602I						
		6I,6665	53,7933	I0,9096	38,283I	37,6812	I6,8744						
	2	0,4	5,5185	8,085I	I8,8079	2,3592	3,3658	7,4860					
			5,5185	5,5297	3,1597	2,3593	2,4532	I6,6284					
	3*	35,3630	49,6593	9I,9746	I7,3893	24,3978	49,0685						
		35,3630	33,3754	I2,3606	I7,3893	I7,5764	I9,4302						
	I	I4,3502	20,7915	45,4299	6,3562	9,03I0	I9,5836						
		I4,3502	I4,1609	7,3152	6,3562	6,5627	I4,1445						
	3	7I,4522	93,2363	I28,6613	42,203I	57,I4I7	96,5416						
		7I,4522	62,0588	I4,312I	42,203I	40,9855	I7,3252						
	3	0,4	5,200I	7,5926	I7,3723	2,1570	3,0420	6,3727					
			5,200I	5,1975	2,9495	2,1570	2,2186	I3,3864					
	3*	37,4046	62,I452	93,350I	I7,969I	24,886I	46,7947						
		37,4046	35,0852	I2,6193	I7,969I	I7,9383	I3,9748						
	I	I3,73II	I9,8347	42,7059	5,8953	8,2823	I6,9370						
		I3,73II	I3,5160	6,8219	5,8953	6,0212	I3,5693						
	3	69,9679	9I,I243	I23,8666	39,8767	53,4397	85,4205						
		69,9679	60,6450	I3,0153	39,8767	38,3334	I5,0332						
	4	0,4	4,0469	5,9948	I4,4647	I,8625	2,7I95	6,7469					
			4,0469	4,040I	2,2413	I,8625	I,9643	I4,4015					
	3*	29,7705	42,5828	84,I743	I6,0I48	23,0730	52,4525						
		29,7705	28,0732	9,8310	I6,0I48	I6,4329	I9,4880						
	I	II,6346	I7,0767	39,0066	5,5657	8,I0II	I9,6700						
		II,6346	II,44I7	5,6612	5,5657	5,8294	I3,9463						
	3	62,I773	83,2368	I23,9264	39,6I38	55,24I2	I06,6895						
		62,I773	54,II57	I0,1085	39,6I38	39,II49	I7,5743						

$\theta = 0,40,70^\circ$ , в табл. 5 по Атлантическому и Тихому океанам (для внетропических климатических областей) для  $\theta = 0, 40, 70^\circ$ . Значения контрастов представлены для моделей со слоистыми, слоисто-кучевыми облаками, мощностью  $H = 0,2, 0,4, 0,6$  км, слоисто-дождовыми облаками - 3 км, кучевыми - 0,5, 1, 3, 5 км. Значения  $\Delta T'$  с ростом угла увеличиваются, достигая для мощной кучевой облачности ( $\theta = 70^\circ$ ,  $H = 5$  км)  $4-5$  нпр. При наблюдении в надир  $\Delta T$  на длинах волн  $\lambda = 0,8$  см и  $1,35$  см для развитой кучевой облачности ( $H = 3$  км) соответственно находятся в пределах  $\sim 0,43 - 0,73$  нпр и  $\sim 0,16 - 0,28$  нпр; для слоистой, слоисто-кучевой облачности ( $H = 0,4$  км)  $\sim 0,02-0,03$  нпр и  $\sim 0,01$  нпр. Значения  $\Delta T$  при наблюдении в надир для кучевых облаков мощностью от 1 до 3 км составляют от  $14-20^\circ$  до  $73-83^\circ$  (0,8 см) и от  $3,5-8^\circ$  до  $24-48$  (1,35 см); для кучевых облаков мощностью 5 км  $\Delta T$  достигает  $\sim 115^\circ$  (0,8 см) и  $\sim 70^\circ$  (1,35 см).

Величины  $\Delta T$  для слоистых, слоисто-кучевых облаков  $H = 0,4$  км составляют  $5-7^\circ$  (0,8 см) и  $1,5-3^\circ$  (1,35 см).

При горизонтальной поляризации  $\Delta T$  возрастает с увеличением  $\theta$ , при вертикальной - убывает. В некоторых случаях для мощной кучевой облачности ( $H = 3,5$  км) в тропиках  $\Delta T$ , увеличиваясь до углов  $50, 60^\circ$ , падает на низких углах (табл. 4, № 9, 18).

Рассмотрев рис. 4, 6, 7, попытаемся оценить величины контрастов над Северной Атлантикой по средней толщине облаков в июле 1972 г.

В субарктической, умеренной зонах наиболее низкие значения средней толщины облаков. Они несколько возрастают от западных и центральных областей к восточным. По климатическим данным в центральных западных областях внетропических широт повторяемость St, Sc составляет  $\sim 50-80\%$ , а Cu, Cb - не более  $10-15\%$ , в восточной области повторяемости этих двух групп облаков близки  $\sim 20-30\%$ . В наших расчетах контрасты ( $\Delta T_g$ ) для облаков мощностью  $0,4-1$  км находятся в пределах  $\sim 7-20^\circ$  (0,8 см),  $\sim 2,8-8^\circ$  (1,35 см).

Максимальных значений средняя толщина облаков достигает в тропических широтах Атлантики (4-6 км), где преобладают кучевые облака. Контрасты для кучевых облаков, мощностью 3-5 км, состав-

ляют  $\sim 73$ – $114^\circ$  (0,8 см),  $\sim 24$ – $68^\circ$  (1,35 см). В тропических же широтах в области пассатов значения средней толщины облаков составляют 2–4 км, понижаясь в районе Канарского течения до значений

2 км. Конкрунты для кучевых облаков, мощностью 1–3 км, составляют  $15$ – $80^\circ$  (0,8 см),  $5$ – $35^\circ$  (1,35 см).

Рассчитывалось как радиоизлучение атмосферы при наблюдении в надир ( $T_n$ ), так и нисходящее радиоизлучение атмосферы ( $T^H$ ). Для трех климатических областей (см. рис. I и табл. I) в тропической Атлантике в табл. 6 показаны величины контрастов нисходящего радиоизлучения атмосферы ( $\Delta T^H$ ). Данные табл. 6 сравним с экспериментальными результатами.

Таблица 6

Значения контрастов оптической толщины ( $\Delta \tau_{\text{напр}}$ ) и контрастов радиояркостной температуры нисходящего излучения ( $\Delta T^H$ ) для моделей облачной атмосферы в тропической Атлантике. Лето

№ пункта на рис. 1, 2	Характер облаков			$\lambda = 0,8$ см		$\lambda = 1,35$ см	
	$H, \text{км}$	$\bar{w}, \text{г}/\text{м}^3$	$\Delta \tau_{\text{напр}}$ ( $T_n$ )	$\Delta T^{H, \circ K}$ ( $T^H, ^\circ K$ )	$\Delta \tau_{\text{напр}}$ ( $T_n$ )	$\Delta T^{H, \circ K}$ ( $T^H, ^\circ K$ )	
9	0	0	(0,0864)	(23,3926)	(0,1732)	(45,4629)	
	0,2	0,22	0,0071	1,9276	0,0026	0,6481	
	0,4	0,36	0,0236	6,2945	0,0086	2,1211	
	3,0	0,35	0,2013	47,9191	0,0740	17,1753	
	0,5	0,27	0,0220	5,8411	0,0080	1,9689	
	1,0	0,36	0,0613	15,8996	0,0224	5,4287	
	3,0	0,80	0,4766	99,1659	0,1755	38,5806	
	5,0	1,50	1,7494	212,7702	0,6554	112,7575	
10	0	0	(0,1001)	(27,1714)	(0,2564)	(64,8436)	
	0,2	0,22	0,0067	1,7961	0,0024	0,5665	
	0,4	0,36	0,0220	5,8638	0,0080	1,8462	
	0,5	0,27	0,0205	5,4417	0,0074	0,7143	
	1,0	0,36	0,572	14,8303	0,0208	4,7207	
	3,0	0,80	0,4468	93,8703	0,1639	33,7174	
	5,0	1,50	1,6534	207,0850	0,6159	100,1554	
II	0	0	(0,1153)	(31,0774)	(0,3241)	(79,2925)	

I	2	3	4	5	6	7
0,5	0,27	0,0195	5,0980	0,0071	1,5163	
1,0	0,36	0,0562	14,3554	0,0204	4,3346	
3,0	0,80	0,4488	92,963	0,1647	31,6661	
5,0	1,50	1,6800	204,8525	0,3272	94,7055	

С целью изучения структуры облаков по значениям их радио-яркостных контрастов исследовалось радиосияние атмосферы в зените на длинах волн  $\lambda = 0,8$  и  $1,35$  см в тропической зоне Атлантического океана в марте–июле 1985 года (41 рейс НИС "Академик Курчатов").

Измерения осуществлялись с помощью радиометрического комплекса [32]. Калибровка радиометров производилась по собственному излучению атмосферы. Записи проводились в интервале времени длительностью  $\sim 2$  часа при постоянной времени 4 с.

По полученным профилям радиояркостных температур для конвективных облаков определены максимальные значения облачных контрастов ( $\Delta T_{\max}$ ), а также приблизительные горизонтальные размеры облачных образований ( $\Delta L$ ). Учитывая скорость и направление движения судна, а также принимая приближенно скорость ветра за скорость движения облака [33], можно получить горизонтальный размер облака в линейном масштабе.

Продолжительность грохождения рассмотренных облаков составила  $\sim 6\%$  от количества наблюдаемого времени. Получены распределения по облаку интегрального содержания водяного пара и жидкой воды в облаках без осадков. В табл. 7 приводится повторяемость максимальных значений контрастов облачных образований различной протяженности.

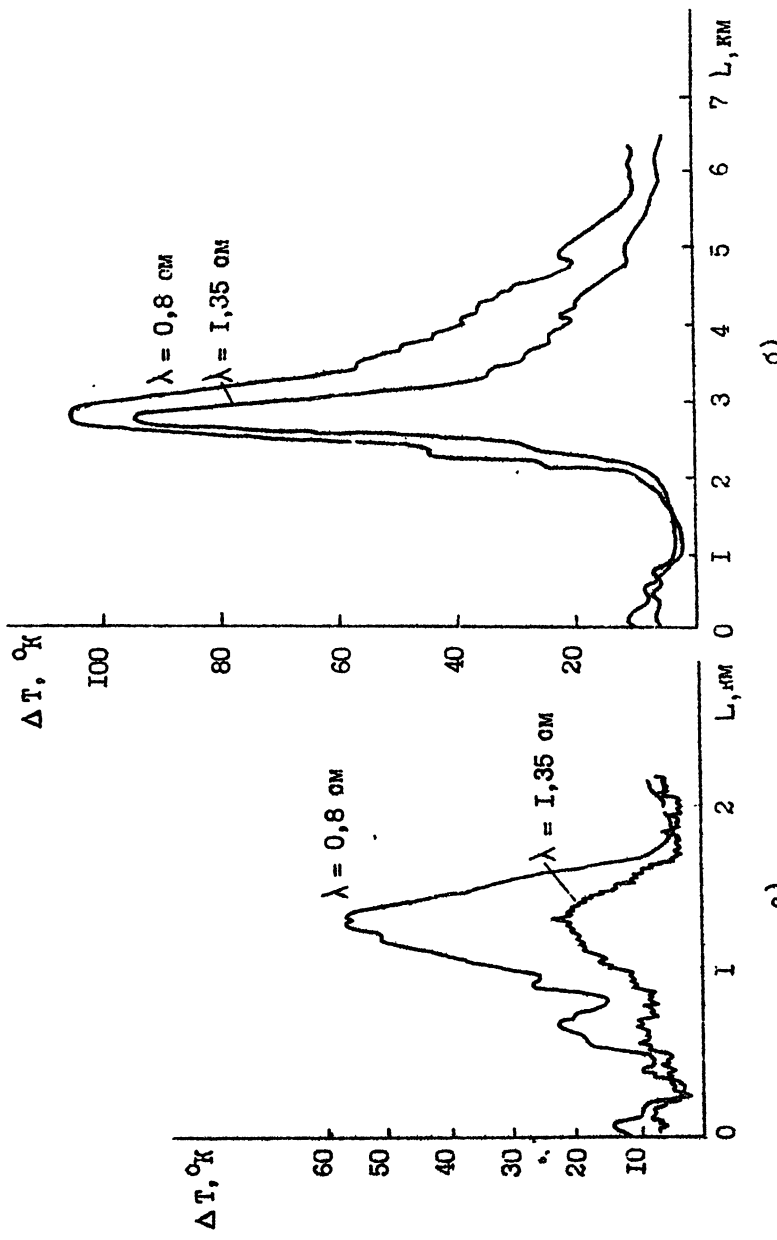
Таблица 7  
Повторяемость контрастов ( $\Delta T_{\max}$ ) облачных образований  
различной протяженности ( $\Delta L$ )

$\Delta L, \text{км}$	$\Delta T_{\max}^{\circ}\text{K}$	9,9	10,0-19,9	20,0-29,9	30,0-49,9	50,0-79,9	$>80$
$\leq 0,9$		$\frac{5}{14}$	$\frac{9}{2}$	$\underline{2}$			
1,0-2,9		$\frac{10}{26}$	$\frac{14}{13}$	$\frac{12}{7}$	$\frac{9}{1}$	$\underline{2}$	
3,0-4,9		$\frac{1}{6}$	$\frac{3}{4}$	$\frac{3}{3}$	$\underline{6}$		$\underline{1}$
5,0-6,9		$\frac{1}{4}$	$\frac{1}{2}$	$\frac{3}{1}$	$\underline{1}$		$\frac{2}{1}$
7,8-8,9		$\underline{1}$	$\frac{1}{3}$			$\underline{3}$	
9,0-10,9		$\underline{2}$		$\underline{2}$			
$\geq 11,0$					$\frac{1}{1}$	$\frac{1}{1}$	$\frac{3}{3}$

(всего 95 облачных образований)

В верхней строке приводится число облаков с максимальными контрастами в определенных градациях на длине волны  $\lambda = 0,8$  см, в нижней –  $1,35$  см. Всего рассмотрено 95 облаков. Более  $2/3$  рассмотренных облачных образований не достигали 3 км. На  $\lambda = 1,35$  см наблюдалось около 90% облаков с максимальными контрастами не более  $30^{\circ}$ , на  $\lambda = 0,8$  см в этих пределах отмечено 60% облаков. Значения  $\Delta T_{\max}$  на длинах волн 0,8 и 1,35 см совпадают по времени, их отношения составляют 1,2 + 3. Градиенты роста температурных контрастов внутри облака достигают  $10 + 20^{\circ}/100$  м. Наибольшие  $\Delta T_{\max}$  характерны для облаков с выпадением дождя.

Максимальный облачный контраст при прохождении облака с ливневым дождем составляет  $\sim 269^{\circ}$  (0,8 см),  $\sim 215^{\circ}$  (1,35 см); при



Р и с. 8.: Профили радиояркостной температуры облаков баз осадков (а) и с дождем (б)

Таблица 8  
Характеристики облачных образований в тропической зоне Атлантики

Дата, время (CMT/суд.)	$\Delta T_{\text{макс}} - K$ ( $\Delta T_{\text{напр}}$ )		$\Delta L, \text{км}$	$\Delta q, \text{г}/\text{см}^2$	$\Delta \eta, \text{кг}/\text{м}^2$	Облачность	
	$\lambda = 0,8 \text{ см}$	$\lambda = 1,35 \text{ см}$				К-во	форма
25.04 21/20 ~20°с.ш.	86,4 (0,408)	50,7 (0,215)	5,4; 1	0,95	2,5	9/6	Cu fr med C1
10.05 06 ~20° с.ш.	42,9 (0,205)	16,9 (0,076)	10,8 (2,4)	0,05	1,3	8,2	Cu fr med A6
11.05 02 ~20°с.ш.	33,2 (0,133)	13,0 (0,054)	19,1 (1,3); 2,0; 3,3;	0,09	0,8	10/2	Cu fr A6
19.06 20 ~5°с.ш.	56,5 (0,258)	24,0 (0,124)	1,5 (1,0)	0,45	1,6	10/8	Cb Cu fr A6 C1 отдал. Дождь
22.06 07 ~8°с.ш.	79,9 (0,369)	29,9 (0,164)	7,5 (1,7; 2,1)	0,45	2,3	9/9	Cu fr Cb
22.06 10 ~8°с.ш.	21,4 (0,095)	8,4 (0,040)	1,2	0,08	0,6	6/2	Cu fr . 3
23.06 23 ~14°с.ш.	29,9 (0,116)	11,7 (0,042)	4,2, 3,3	0,21	0,7	10/10	Cu fr Sc
24.06 14 ~17°с.ш.	23,4 (0,098)	9,1 (0,039)	2,0	0,06	0,6	8/7	Cu fr cong Sc Ae отдал. Дождь
15	71,5 (0,342)	28,0 (0,129)	3,3	0,11	2,2	8/8	Cu fr cong Sc отдал. Дождь

прохождении облака без осадков  $\sim 86^{\circ}$  (0,8 см),  $\sim 50^{\circ}$  (1,35 см) и  $\sim 109^{\circ}$  (0,8 см),  $\sim 40^{\circ}$  (1,35 см). В этих случаях протяженность области значительных контрастов ( $\Delta L$ ) достигает 10-12 км.

В табл. 8 приведены характеристики для нескольких облачных образований в тропической зоне Атлантики.

Некоторые облачные образования содержат систему ядер, которые резко выделяются на общем профиле. Протяженность их размеров показана в скобках. Приращения интегрального содержания водяного пара ( $\Delta Q$ ) и жидкой воды ( $\Delta W$ ) по сравнению с фоном определены для максимальных облачных контрастов.

На рис. 8 представлены профили облаков без осадков (а) и с дождем (б). В облаке без осадков  $\Delta L$  не превышает  $\sim 1,5$  км. В центральной части облака ( $\Delta T_{\max}$ ) интегральное содержание водяного пара и жидкой воды увеличивается по сравнению с фоном соответственно на  $0,45 \text{ г}/\text{см}^2$  и  $1,6 \text{ кг}/\text{м}^2$ . Во втором случае  $\Delta L$  составляет  $\sim 5$  км. В передней части облака (до максимума) в области контрастов, превышающих  $15^{\circ}$ , градиенты роста  $\Delta T$  составляют  $15 + 17^{\circ}/100$  м, в тыловой части облака -  $2,6 - 5,0^{\circ}/100$  м. Дождь наблюдался на участке облака ( $\sim 2$  км) с максимальными радиоконтрастами.

По измеренным облачным контрастам, согласно значениям водности облаков  $\bar{w}$ , используемых в расчетах (табл. 6), можно оценить мощность наблюдаемых облаков. Из табл. 8 следует, что облака мощностью  $\sim 3$  км наблюдались в частности 25 апреля, 22 июня (07 ч.), 24 июня (15 ч.); в других случаях мощность облаков находилась в пределах 1-2 км.

### Заключение

Для оценки водозапаса облаков над океаном использовались эмпирические соотношения для вертикального распределения водности в облаках и средние значения водности, полученные над территорией СССР. Водозапас определялся в зависимости от мощности и типа облачности.

Оптическую толщину, радиояркостную температуру и их контрасты для моделей облачной и безоблачной атмосферы целесообразно рассчитывать по климатическим зонам Мирового океана. Четкая зо-

нальность прослеживается на длине волны 1,35 см – вариации радио-яркостной температуры происходят за счет вариаций содержания водяного пара в атмосфере. Так, широтная изменчивость значений радиояркостной температуры безоблачной атмосферы ( $\theta = 0^\circ$ ) составляют  $\sim 65^\circ$  (1,35 см),  $\sim 10\text{--}15^\circ$  (0,8 см).

Величины облачных контрастов, полученные экспериментально в тропической Атлантике, удовлетворительно согласуются с расчетными. Измеренные облачные контрасты и величины водности, используемые в моделях, дают возможность оценить мощность наблюдаемых облаков.

### Приложение

#### Методика расчета характеристик атмосферы

Полное вертикальное поглощение радиоволн в атмосфере или оптическая толщина, определяемая по формуле (7), находится методом относительных измерений [32]. Радиоизлучение атмосферы в радиодиапазоне по результатам многочисленных исследований можно представить в виде

$$T^H = T_{CP} (1 - e^{-\tau}),$$

где  $T_{CP} = 0,97 T_0$  [31],

$T_0$  – температура воздуха у поверхности.

Контраст оптической толщины облака равен

$$\Delta\tau = \ln \frac{T_{CP}}{T_{CP} - T^H - \Delta T^H} - \tau.$$

По известной величине  $\Delta\tau$  вычисляется интегральное содержание водяного пара  $\Delta Q$  и жидкой воды  $\Delta W$  в облаке.

Для длин волн 0,8 и 1,35 см согласно [3, 34]

$$\Delta\tau_{0,8} = 0,114 \Delta Q + 0,156 \Delta W,$$

$$\Delta\tau_{1,35} = 0,08 \Delta Q + 0,055 \Delta W.$$

## ЛИТЕРАТУРА

1. Шифрин К.С., Рабинович Б.И., Щукин Г.Г. Исследование поля микроволнового излучения в атмосфере. Тр. ГГО, 1968, вып. 222, с. 5-18.
2. Применение радиотеплолокации в метеорологии и океанологии. Пер. с англ., Л., Гидрометеоиздат, 1969.
3. Башаринов А.Е., Гурвич А.С., Егоров С.Т. Радиоизлучение Земли как планеты. М., Наука, 1974, 188 с.
4. Хромов С.П., Мамонтова Л.И. Метеорологический словарь. Л., Гидрометеоиздат, 1974, 567 с.
5. Атлас океанов. Тихий океан. М., МОВМФ СССР, 1974, 302 карты.
6. Атлас океанов. Атлантический и Индийский океаны. М., МО ВМФ СССР, 1977, 306 карт.
7. Аэроклиматический справочник северного полушария. Вып. II. М., Гидрометеоиздат, 1958, 437 с.
8. Аэроклиматический атлас северного полушария, т. I, П. Л., Гидрометеоиздат, 1961, 1963.
9. Материалы по климату и циркуляции свободной атмосферы над зарубежными странами северного полушария. Т. I, вып. I, П. М., Гидрометеоиздат, 1972, 1974.
10. Материалы по климату и циркуляции свободной атмосферы над тропической зоной Атлантического океана. Вып. I. М., Гидрометеоиздат, 1976, 325 с.
- II. Атлас климатических характеристик температуры, плотности и давления воздуха, ветра и геопотенциала в тропосфере и нижней стратосфере северного полушария. Вып. II, П. М., Гидрометеоиздат, 1974, 1975.
12. Авиационно-климатические характеристики зарубежных стран. Т. I. Вып. I-7. Обнинск, ЕНИИТМИ МД, 1979-1983.
13. Синькович А.А., Шишгин Н.С. Температурный режим кучевых облаков. Тр. ГГО, 1984, вып. 482, с. 87-96.
14. Климатические карты облачности северного полушария январь и июль (период МГГ и МГС). Редактор В.Я. Добанова. М., 1967.
15. Изменчивость физических полей в атмосфере над океаном. М., Наука, 1983, 167 с.

16. Марчук Г.И., Кондратьев К.Я., Козодоров В.В., Хворостыянов В.И. Облака и климат. Л., Гидрометеоиздат, 1986, 511 с.
17. Морозова И.В. Поле облачности над отдельными районами Атлантического океана. Тр. ГГО, 1980, вып. 434, с. 105-108.
18. Берлянд Т.Г., Строкина Л.А., Грешникова Л.Е. Зональное распределение количества облаков на земном шаре. Метеорология и гидрология, № 3, 1980, с. 15-23.
19. ТРОПЭКС-72, Л., Гидрометеоиздат, 1974, 685 с.
20. ТРОПЭКС-74. Т.1. Атмосфера. Л., Гидрометеоиздат, 1976, 736 с.
21. Скацкий В.И. Исследование водности кучевых облаков. Тр. ИПГ, 1969, вып. 13.
22. Матвеев Л.Т. Курс общей метеорологии. Физика атмосферы. Л., Гидрометеоиздат, 1984, 751 с.
23. Половина И.П. Воздействия на внутримассовые облака слоистых форм. Л., Гидрометеоиздат, 1971.
24. Фейгельсон Е.М., Краснокутская Л.Д. Потоки солнечного излучения и облака. Л., Гидрометеоиздат, 1978, 156 с.
25. Титов В.И., Муссаелян Г.Ш. Распределение средних высот верхней границы облаков. Тр. ВНИИГМИ-МЦД, 1977, вып. 42, 72-79 с.
26. Дубровина Л.С., Верзунова В.Д. Оценка толщины облаков с использованием данных ИСЗ. Тр. ВНИИГМИ-МЦД, 1983, вып. 107, с. 13-22.
27. Авиационно-климатический атлас-справочник. Вып. 3, М., Гидрометеоиздат, 1975.
28. Атлас облаков. Л., Гидрометеоиздат, 1978, 267 с.
29. L.A.Klein, C.T.Swift. An Improved Modal for the Dielectric Constant of Sea Water at Microwave Frequencies. IEE Trans. Antennas and Propag. vol.AP-25, N 1, p.104 (1977).
30. Переслегин С.В. О соотношении между тепловыми и радиояркостными контрастами морской поверхности. Изв. АН СССР. Физика атмосферы и океана. Т.3, № 1, 1967, с. 47-57.
31. Кисляков А.Г., Станкевич К.С. Исследование тропосферного поглощения радиоволн радиоастрономическими методами. Изв. вузов, Радиофизика, т. 10, № 9-10, 1967, с. 1244-1265.
32. Хрулев и др. Двухканальный радиотелескоп для исследования

- радиоизлучения атмосферы и морской поверхности. Изв. вузов,  
Радиофизика, т. 26, № 2, 1983, с. 155-160.
33. Риль Г. Климат и погода в тропиках. Л., Гидрометеоиздат,  
1984, 605 с.
34. David H. Staelin. Measurements and Interpretation of the Mi-  
crowave Spectrum of the Terrestrial Atmosphere near 1-Centi-  
meter Wavelength. J.of Geophys.Res., 71, N 12, p.2875-2881  
(1966).

Дата поступления статьи  
28 апреля 1987 г.

Тамара Валентиновна Александрова  
Ольга Алексеевна Подвойская

**РАДИОКАРТЫ АТМОСФЕРЫ НАД МИРОВЫМ ОКЕАНОМ**

---

Подписано в печать 17.07.87 г. № 07111. Формат 60x84/16.  
Бумага мелкотканая. Печать офсетная. Объем 2,85 п. л.  
Заказ 4601. Тираж 120. Бесплатно

---